

распада уровня i , \bar{Q}_i — усредненное по скоростям выше пороговой эффективное сечение возбуждения уровня i

$$\bar{Q}_i \equiv \frac{\int_{v_i}^{\infty} Q_i(v) vf(v) dv}{\int_{v_i}^{\infty} vf(v) dv} = \frac{\langle Q_i(v) v \rangle}{\left(1 + \frac{\Delta E_i}{k_0 T}\right) e^{-\Delta E_i/k_0 T} \bar{v}}. \quad (3)$$

Здесь v — относительная скорость движения атомов неона и гелия, $f(v)$ — максвелловская функция распределения атомов по скоростям, v_i и ΔE_i — соответственно пороговая скорость и энергия, k_0 — постоянная Больцмана, T — температура газа, близкая в наших условиях (по оценкам) к 400 К.¹

Значения \bar{Q}_{ik} , найденные для 27 наиболее ярких линий $2p-4d$, представлены в таблице. Некоторые близкие линии мы разрешить не могли, для них приводятся суммарные значения \bar{Q}_i .

Суммы по k всех полученных значений \bar{Q}_{ik} для данного i , также приведенные в таблице, дают оценку снизу величин \bar{Q}_i . Если пренебречь теми слабыми линиями $2p-4d$, для которых \bar{Q}_{ik} не найдены (их яркость, по нашим измерениям, не превышает 10% от суммарной яркости всех линий для каждого из уровней $4d$), а также принять, что вероятности радиационных переходов $4d \rightarrow 3p$ ($\lambda \approx 2.2 \div 3.7$ мкм) и эффективные вероятности переходов из состояний $4d_2$ и $4d_5$ в основное состояние малы по сравнению с переходами $4d \rightarrow 2p$, то $\sum_k \bar{Q}_{ik}$ можно считать близкими к \bar{Q}_i .

С этими же оговорками величина $\sum_{i,k} \left(1 + \frac{\Delta E_i}{k_0 T}\right) e^{-\Delta E_i/k_0 T} \bar{Q}_{ik}$, равная $1.1 \cdot 10^{-16}$ см², приближенно равна эффективному сечению разрушения уровня гелия 2^1S_0 при реакциях (1).

В заключение заметим, что процессы (1) в гелий-неоновой плазме могут играть существенную роль в заселении уровней $4d$. В наших условиях около половины числа актов возбуждения их происходило за счет реакций (1).

Литература

[1] Ю. З. Ионих, Н. П. Пенкин. Опт. и спектр., 31, 837, 1971.

Поступило в Редакцию 7 июня 1972 г.

УДК 543.422

К АБСОРБЦИОННОМУ АНАЛИЗУ СИЛЬНО ПОГЛОЩАЮЩИХ ВЕЩЕЙ

С. Я. Петров и Б. Д. Файнберг

В работах [1, 2] был предложен метод абсорбционного анализа сильно поглощающих веществ с помощью мощного источника излучения, когда зависимость коэффициента поглощения исследуемого вещества от плотности облучающей радиации становится существенной, и показано, что при отсутствии рассеяния в исследуемом образце коэффициент поглощения и параметр нелинейности могут быть легко найдены из результатов измерений с помощью простых формул.

В настоящей работе мы покажем, что путем выбора определенного режима измерений необходимые параметры могут быть получены из результатов измерений сравнительно просто аналитически и в случае наличия рассеяния в исследуемом образце. Действительно, из системы уравнений (1) работы [1] для величины $\varepsilon = \rho_y/(k_0 + \rho_y)(\alpha_y/v)$ можно получить уравнение

$$F_1 = F_2^\beta, \quad (1)$$

где

$$F_j = \frac{(1 + \varepsilon I_{j+1} T_{j+1}) (1 + \varepsilon I_j)}{(1 + \varepsilon I_{j+1}) (1 + \varepsilon I_j T_j)} \quad (j = 1, 2), \quad (2)$$

$$\beta = \lg (T_1/T_2)/\lg (T_2/T_3). \quad (3)$$

¹ Сечения Q_i в статье [1] вводились по-другому: $Q_i \equiv \langle Q_i(v) v \rangle / \bar{v}$. Такое же различие между \bar{Q}_{ik} данной работы и Q_{ik} работы [1].

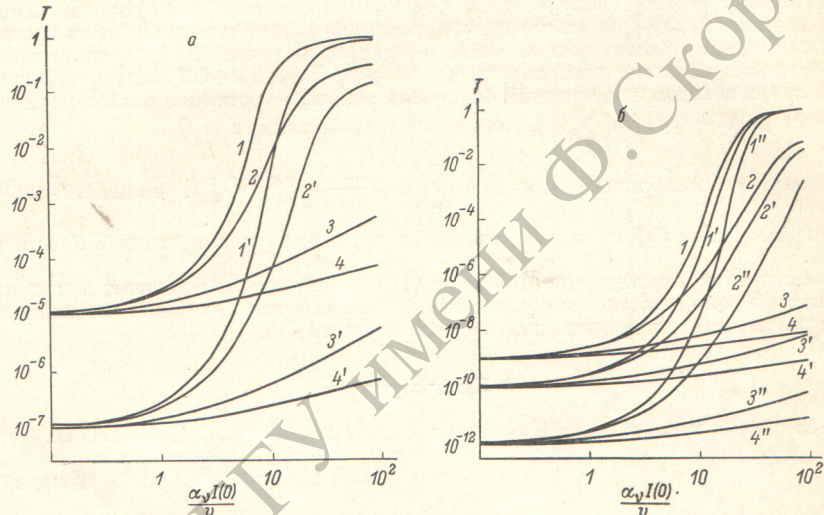
Здесь ρ_y — коэффициент, учитывающий рассеяние и другие вредные потери на частоте v , k_{0y} — коэффициент поглощения при отсутствии нелинейности, α_y — параметр нелинейности, v — скорость света в исследуемом веществе, $I_i \equiv I_i(0)$ — интенсивность излучения до взаимодействия с веществом при i -том измерении ($i = 1, 2, 3$), T_i — измеренный коэффициент пропускания исследуемого слоя.

Найдя из уравнения (1) величину ε , легко получить значения неизвестных $x = \rho_y/k_{0y}$, T_0 (коэффициент пропускания при отсутствии нелинейности) и α_y , входящих в уравнение (1) работы [1]

$$x = \lg F_j / \lg \frac{T_j}{T_{j+1}}, \quad (4)$$

$$\alpha_y = \varepsilon v \left(\frac{1}{x} + 1 \right), \quad (5)$$

$$T_0 = T_i \sqrt[x]{\frac{1 + \varepsilon I_i T_i}{1 + \varepsilon I_i}}. \quad (6)$$



Зависимость пропускания T поглощающего слоя от $\alpha_y I(0)/v$ при различных значениях ρ_y ($\rho_y + k_{0y}$).

$1, 1', 1'' - 0; 2, 2', 2'' - 0.1; 3, 3', 3'' - 0.5; 4, 4', 4'' - 0.7$. a — цифры без штрихов соответствуют $T_0 = 10^{-5}$, со штрихом $T_0 = 10^{-7}$. b — цифры без штрихов соответствуют $T_0 = 10^{-9}$, со штрихом $T_0 = 10^{-10}$, с двумя штрихами $T_0 = 10^{-12}$.

Если для вычисления неизвестных (4)–(6) использовать результаты измерений, при которых

$$T_1/T_2 = T_2/T_3, \quad (7)$$

то для ε мы получаем квадратное уравнение

$$a\varepsilon^2 + b\varepsilon + c = 0, \quad (8)$$

где

$$\left. \begin{aligned} a &= I_2 [2I_1 I_3 T_2 (1 - T_2) - I_1 I_2 T_1 (1 - T_3) - I_2 I_3 T_3 (1 - T_1)], \\ b &= (1 - T_1 T_3) (I_1 I_3 - I_2^2) + 2I_1 I_2 (T_2 - T_1) - 2I_2 I_3 (T_3 - T_2), \\ c &= I_1 (1 - T_1) + I_3 (1 - T_3) - 2I_2 (1 - T_2). \end{aligned} \right\} \quad (9)$$

Очевидно, что измерения надо производить таким образом, чтобы полученные T_i отличались друг от друга на величину, значительно превышающую ошибки измерений. С этой целью на рисунке приведены зависимости T от $\alpha_y I_i/v$ при различных значениях коэффициента рассеяния для случая больших начальных поглощений T_0 (при небольших T_0 соответствующие зависимости приведены в [5]). Ввиду сравнительно легкого достижения нелинейности коэффициента поглощения в длинноволновом диапазоне [3] предложенный метод может найти предпочтительное применение именно в этой области спектра.

Заметим, что данный метод лишен ряда недостатков, присущих известным [4], из которых наибольшее применение нашли методы, основанные на измерениях коэффициентов отражения. Он не требует полировки поверхности исследуемого образца, в результате которого в наружном слое появляются посторонние включения, искажаю-

щие спектр отражения, а также вместо сложной математической обработки результатов измерений, требующей использования ЭВМ и снижающей их точность, предлагает использование простых формул.

В заключение нам хотелось бы выразить глубокую благодарность В. В. Городецкому за помощь при производстве вычислений и Б. А. Киселеву за полезные обсуждения.

Литература

- [1] Б. Д. Файнберг, Б. А. Киселев. Опт. и спектр., 30, 168, 1971.
- [2] Б. А. Киселев, Б. Д. Файнберг. VII Уральская конф. по спектр., вып. 2, молек. спектр., Свердловск, 1971.
- [3] Б. А. Киселев, Б. Д. Файнберг. Опт. и спектр., 31, 1011, 1971.
- [4] Е. В. Смирнова. Автореф. канд. дисс., Л., 1968.
- [5] Э. П. Зеге, А. П. Иванов. Опт. и спектр., 17, 87, 1964.

Поступило в Редакцию 20 июня 1972 г.

УДК 535.34+535.37

СПЕКТРАЛЬНО-ЛЮМИНЕСЦЕНТНОЕ ИССЛЕДОВАНИЕ ФОТОПРЕВРАЩЕНИЙ АНТРАХИНОНА В ГЕКСАНЕ

Н. И. Лицов, Л. А. Негиевич и А. А. Качан

В литературе имеется достаточно много работ [1-5], в которых исследованы в растворах поведение и механизм дезактивации фотовозбужденного состояния антрахинона и его производных. В основном применялись полярные растворители (спирты), образующие с хиноном водородную связь [4]. Показано [1, 2], что триплетное состояние антрахинона является фотореактивным, а энергия возбуждения расходуется главным образом на отрыв атома водорода от молекул растворителя. Квантовый выход такой фотохимической реакции в спиртах близок к единице.

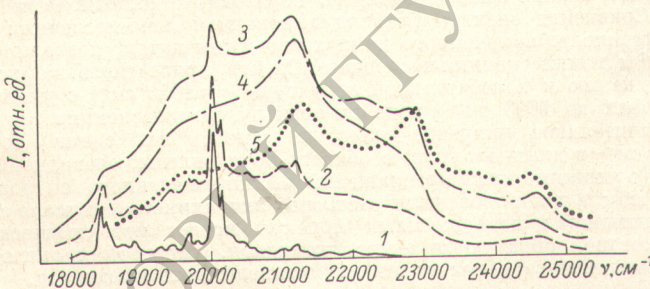


Рис. 1. Спектры люминесценции ($T=77^{\circ}$ К) раствора антрахинона в н.-гексане ($C=5 \cdot 10^{-5}$ моль л⁻¹).

1 — до облучения; после облучения: 2 — 15, 3 — 5, 4 — 10, 5 — 15 мин.

В настоящей работе исследованы изменения в спектрах поглощения и люминесценции при УФ облучении антрахинона в инертном растворителе — гексане. Представляло интерес установить, какой путь — фотофизический или фотохимический — является преобладающим при дезактивации возбужденного состояния молекул, а также идентифицировать продукты превращения антрахинона. В опытах применялся сухой н.-гексан. Химически чистый антрахинон перекристаллизовывали из ледяной уксусной кислоты. Растворы антрахинона в гексане (концентрации $10^{-4} \div 10^{-5}$ моль л⁻¹) деаэрировали в вакууме $1 \cdot 10^{-3}$ тор и при комнатной температуре облучали УФ светом лампы ПРК-2 в плоскопараллельных кюветах. Для выяснения вопроса, какое возбуждение ($n \rightarrow \pi^*$ или $\pi \rightarrow \pi^*$) в наших условиях вызывает фотохимическую реакцию, использовали светофильтры УФС-6, ФС-1, 366, а также лампу БУВ-60 (80% 254 нм). Спектры поглощения снимали при комнатной температуре на спектрофотометре «Specord UV VIS», спектры люминесценции — на спектрометре ИСП-51 с фотоэлектрической приставкой ФЭП-4. Так как антрахинон и некоторые продукты его фотохимических превращений в н.-углеводородах при комнатной температуре не люминесцируют, спектры испускания регистрировали при 77° К.

В н.-гексане при 77° К антрахинон и ряд его производных [6] дают квазилинейчатый спектр испускания с тонкой колебательной структурой (рис. 1, кривая 1). Облуч-